



Fig. 10.- Coladas de basaltos del Roque Nublo con estructura de "pillow-lava" en el Barranco de Tenoya. Entre cada "pillow" se observa la matriz hialoclastítica que las envuelve.



Fig. 11.- "Pillow-lavas" apoyándose sobre arenas blancas de playa en el Barranco de Teno ya. Observése la estructura interna radial de las "pillows" y sus cortezas - vitreas.



Fig. 12.- "Pillow-lavas" sobre arenas de playa. En la zona inferior, el conglomerado de cantos fonolíticos rubefactados del miembro medio de la F. detritica de Las Palmas.



Fig. 13.- Barranco del Caidero. Detalle de la brecha hialoclastítica que envuelve las "pillow-lavas".



Fig. 14.- Ladera O. del Barranco de Tamaraceite. Contacto neto entre el miembro inferior de la F. detritica de Las Palmas (A) y las coladas con estructura de "pillow-lava" (B), que hacia arriba pasan a ser de tipo "pahoehoe" - (C). Arriba, coladas Post Roque Nublo (D) separadas de las anteriores por un almagre.



Fig. 15.- Falla de El Rincón (F) que afecta al miembro inferior de la F. detritica de - Las Palmas (A), a la secuencia "pillow-lavas"- "pahoehoe" (B y C) y a la brecha Roque Nublo (D). Entre ambos cerros existe un barranco.



Fig. 16.- Brecha Roque Nublo en la ladera N. del Barranco de Guiniguada.



Fig. 17.- Morfología cavernosa en el relieve originado por la brecha Roque Nublo en el Barranco de Tencaya.



Fig. 18.- Miembro superior de la F. detrítica de Las Palmas en Lomo Grande, con una c
lada básica intercalada del ciclo Roque Nublo. Al fondo el volcán de Arucas.



Fig. 19.- Detalle de la fotografía anterior en la que se observa la selección grosera de los depósitos.



Fig. 20.- Barranco de Guiniguada. Depósitos conglomeráticos estratificados del miembro superior de la F. detrítica de Las Palmas.



Fig. 21.- Colada "intracanyon" del ciclo Post-Roque Nublo rellenando el Barranco de - Tenoya.



Fig. 22.- Barranco del Caidero. Coladas basaníticas del volcán de Cardones apoyándose - sobre las arenas y conglomerados fonolíticos del miembro inferior de la F. de trítica de Las Palmas.



Fig. 23.- Coladas basaníticas del volcán de Cardones sobre arenas blancas marinas del miembro medio de la F. detritica de Las Palmas.



Fig. 24.- Arenas fosilíferas de la rasa marina a \pm 30 m. en la Punta de Arucas. Al fondo el Edificio Cardones.



Fig. 25.- Coladas basaníticas del ciclo Post Roque Nublo inferior sobre depósitos de tobas hialoclastíticas en la Playa del Confital, La Isleta.



Fig. 26.- Aspecto de detalle de las tobas hialoclastíticas con abundantes líticos, en la Playa del Confital, La Isleta.



Fig. 27.- Ostreas en posición de vida en las tobas hialoclastíticas de la Playa del - Confital, La Isleta.

Fig. 28.- Detalle de la figura anterior.





Fig. 29.- Conglomerado de edad Jandiense en la Playa del Confital.



Fig. 3.- Miembro inferior y medio de la F. detrítica de Las Palmas. Las flechas indican el nivel de cantes rubefactados.



Fig. 30.- "Barra" de areniscas de edad Jandíense, en la Playa de Las Canteras.



Fig. 31.- Vista general de La Isleta (I) y del Istmo de Guanarteme (G). En primer término la rasa marina fonolítica levantada (F).



Fig. 32.- Costa norte de La Isleta, Montaña del Faro (F) y Montaña de Las Coloradas (C).



Fig. 33.- Cantera de coladas básicas del ciclo Post-Roque Nublo en la zona de La Vaca, costa N. de La Isleta.

Fig. 34.- Plataforma basanítica del ciclo Post-Roque Nublo con desarrollo de disyunciones columnares de planta hexagonal en la costa N.O. de La Isleta.





Fig. 35.- Detalle de la disyunción columnar de planta hexagonal y pentagonal principalmente, en la costa N°. de La Isleta.



Fig. 36.- Coluviones fosilíferos sobre coladas con disyunción prismática en la costa - NO. de La Isleta.



Fig. 37.- Cantera de lapillis (picón) en la ladera S. de la Montaña del Vigía, La Isleta.

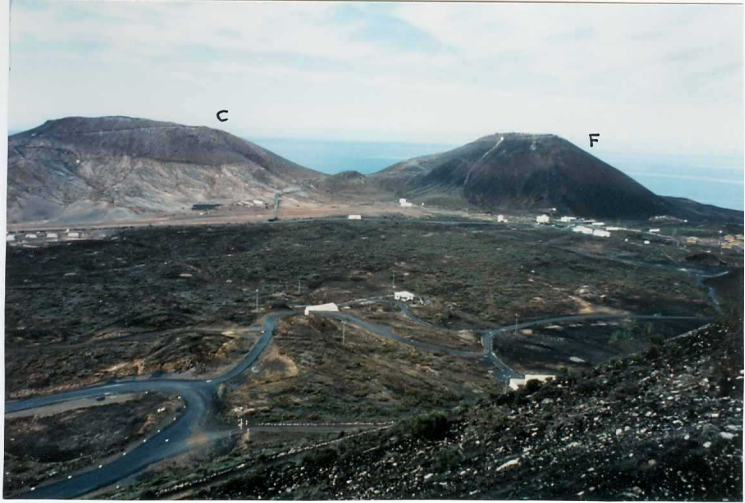


Fig. 38.- Vista general de los volcanes Montaña de Las Coloradas (C) y Montaña del Faro (F) en La Isleta.



Fig. 39.- Vista general de los volcanes Montaña del Vigía (V) y Montaña de La Atalaya en La Isleta. El edificio del centro ha desaparecido prácticamente por la acción extractora de sus lapillis y escorias.



Fig. 4.- Barranco Seco.- Contacto neto entre las tobas tipo "ash and pumice" sin soldar y el miembro medio de la F. detritica de Las Palmas. En el centro, el nivel de cantos rubefactados.



Fig. 40.- Volcán de Tinoca (T) y rasa fonolítica levantada en primer término.



Fig. 41.- Istmo de Guanarteme con la Playa de Las Canteras a la derecha. En primer término la ciudad de Las Palmas de Gran Canaria.



Fig. 5.- Rhodolitos (algas calcáreas) en arenas oscuras con laminaciones, pertenecientes al miembro medio de la F. detrítica de Las Palmas.



Fig. 6.- Detalle de los rhodolitos de la figura anterior.



Fig. 7.- Barranco del Caidero. Nivel marino de arenas fosilíferas con laminaciones cruzadas, pertenecientes al miembro inferior de la F. detrítica de Las Palmas.



Fig. 8.- Detalle de las laminaciones cruzadas de la figura anterior.



Fig. 9.- Cantera de arenas negras de origen eólico (dunas negras) en las inmediaciones de Cardones. Encima está el edificio de Montaña Blanca, parcialmente encalchado en su ladera oeste.